

DOI:10.13409/j.cnki.jdpme.2020.05.012

## 设置套管阻尼器的框架支撑结构参数分析\*

孙瑛志<sup>1,2,3</sup>, 李国强<sup>1,4</sup>, 孙飞飞<sup>1,4</sup>

(1. 同济大学土木工程学院, 上海 200092; 2. 中国建筑股份有限公司, 北京 100037; 3. 中建二局第三建筑工程有限公司, 北京 100070; 4. 同济大学土木工程国家重点实验室, 上海 200092)

**摘要:** 提出了两种设置套管阻尼器的框架支撑结构。改变套管阻尼器的相对刚度、相对长度与屈服比等参数值以及套管阻尼器的布置方式, 利用ETABS软件建立有限元模型, 对框架支撑结构进行动力时程参数分析, 提取结构的底部最大剪力和最大层间位移角作为结构地震响应的衡量标准, 探究套管阻尼器的参数变化和布置数量对结构地震响应的影响规律, 发现: 对第一种结构形式, 套管阻尼器的相对刚度、相对长度和屈服比宜取为0.4、0.5和0.2; 对第二种结构形式, 套管阻尼器的相对刚度、相对长度和屈服比宜取为0.6、0.5和0.4; 并非各楼层都布置阻尼器可取得最佳的减震效果, 对本文提出的两种设置套管阻尼器的工程应用形式而言, 在底部四层设置套管阻尼器减震效果最好。

**关键词:** 套管阻尼器; 框架支撑结构; 参数分析; 相对刚度; 相对长度; 屈服比

**中图分类号:** TU352.1   **文献标识码:**   **文章编号:** 1672-2132(2020)05-0771-08

## Parametric Studies on the Braced-frame with Tube Dampers

SUN Yingzhi<sup>1,2,3</sup>, LI Guoqiang<sup>1,4</sup>, SUN Feifei<sup>1,4</sup>

(1. College of Civil Engineering, Tongji University, Shanghai 200092, China; 2. China State Construction Engineering Corporation Ltd., Beijing 100037, China; 3. The Third Construction Engineering Company LTD. of China Construction Second Engineering Bureau, Beijing 100070, China; 4. State Key Laboratory of Civil Engineering, Tongji University, Shanghai 200092, China)

**Abstract:** Two braced-frame structures with tube dampers are proposed. The relative stiffness, relative length and yield ratio of casing dampers and the arrangement of tube dampers are changed. The finite element model is established by the software ETABS, and the dynamic time history analysis of the braced-frame structures is carried out. The base shear and the maximum interlayer displacement angle of the structure are used to reflect the seismic response, and the influence of the parameter changes and the arrangement of the tube dampers on the structural seismic response is explored. It is found that the relative stiffness, relative length and yield ratio of tube dampers should be 0.4, 0.5 and 0.2, respectively, for the first structural form. For the second structural form, the relative stiffness, relative length and yield ratio of tube dampers should be 0.6, 0.5 and 0.4, respectively. It is not the best strategy to set dampers at every floor. For the two structural forms installing tube damper proposed in this paper, the best energy absorption effect is achieved by setting the tube dampers at the bottom four layers.

**Keywords:** tube damper; braced frames; parametric analysis; relative stiffness; relative length; yield ratio

\* 收稿日期:2018-08-21;修回日期:2018-12-12

基金项目:“十三五”国家重点研发计划(2016YFC0701203)资助

作者简介:孙瑛志(1993-),男,博士。主要从事消能减震方面的研究。Email:y.z.sun@tongji.edu.cn



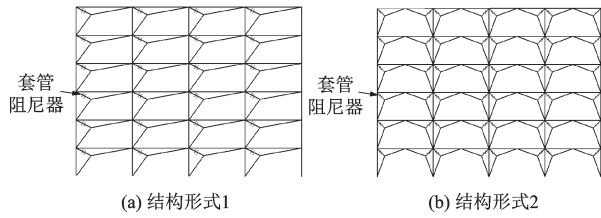


图2 套管阻尼器工程应用形式

Fig.2 Engineering application form of the tube damper

式可作为框架支撑结构在开门窗洞口区间,为避免刚度突变的一个替代方案,当建筑对减震性能要求较高,附加阻尼要求较大,需大量设置阻尼器时,亦可在单层、多层或全结构采用上述结构形式。

本文通过改变套管阻尼器的力学指标和布置数量,对结构进行弹塑性地震反应分析,以结构底部最大剪力和最大层间位移角作为结构地震响应的衡量指标,以寻求合理的阻尼器设计参数。

## 2 参数选择

采用Etabs软件建立如图2所示的设置套管阻尼器的层高3 m、跨度6 m的六层支撑框架结构,对其进行参数分析。框架梁柱截面分别固定为H300X300X10X15和H350X350X10X16,钢材为Q345,组合阻尼器的相对刚度 $\alpha$ 、相对长度 $\beta$ 和屈服比例 $\xi$ 等性能参数来设计阻尼器(见表1),恒载活载分别为18.6 kN/m和12 kN/m,均匀施加到每层梁上。选择台湾Chichi地震波(No. 2699)作为地震动输入(图3),地震动峰值调整为0.07g,用该地震动反应谱的弹性分析作为调整屈服比的依据。

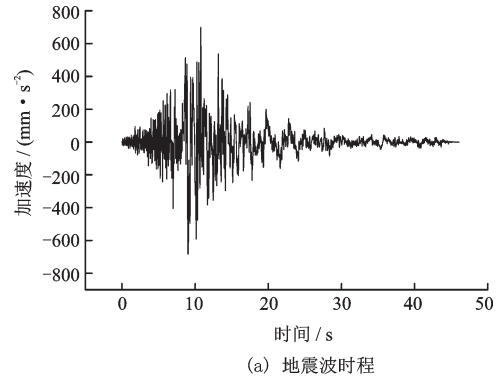
### 2.1 套管阻尼器相对刚度

定义 $\alpha$ 为相对刚度,其值等于套管阻尼器的轴向刚度和与之相连的两根支撑构件的轴向刚度平均值之比。因框架支撑结构的侧向刚度主要由支撑提供,套管阻尼器应先于支撑和梁柱构件屈服进入塑性状态消耗地震能量,相对刚度 $\alpha$ 值不大于1。

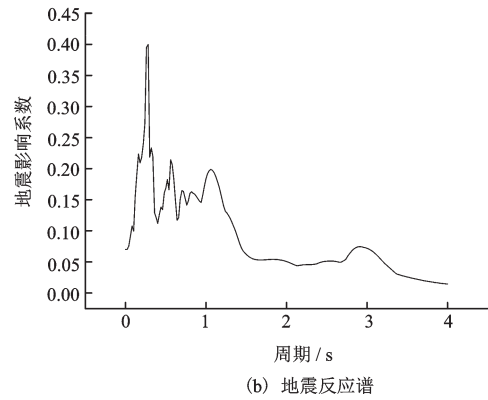
表1 参数选择

Table 1 Parameter selection

参数类别		工程应用形式1					参数类别		工程应用形式2				
$\alpha$	0.20	0.40	0.60	0.80		$\alpha$	0.20	0.40	0.60	0.80			
$\beta$	0.40	0.53	0.67	0.80		$\beta$	0.27	0.40	0.53	0.67			
$\xi$	0.10	0.20	0.30	0.40	0.60	0.80	$\xi$	0.20	0.40	0.60	0.80		



(a) 地震波时程



(b) 地震反应谱

图3 参数分析用Chichi地震波(No. 2699)

Fig.3 Chichi earthquake wave used for the parametric analysis(No. 2699)

### 2.2 套管阻尼器相对长度

显然,当套管阻尼器长度为零时,两种形式的套管阻尼器支撑框架退化成纯框架结构,而随着套管阻尼器长度的增加,两种结构逐步趋向于框架—斜撑结构和框架—人字撑结构,设此时的套管阻尼器长度为 $L_0$ ,套管阻尼器的实际长度应在0与 $L_0$ 之间,定义套管阻尼器实际长度与 $L_0$ 之比作为套管阻尼器的相对长度,以 $\beta$ 表示, $\beta$ 值应在0到1之间。

### 2.3 套管阻尼器屈服比例

套管阻尼器较早屈服可以更早地为结构提供附加阻尼,但这意味着套管阻尼器的屈服力较小,消能能力有限;相反,较高的屈服力意味着套管阻尼器不易进入塑性的消能状态,无法及时为结构提

供附加阻尼。为确定阻尼器合适的屈服力值,本文在进行弹塑性动力时程分析前,先进行反应谱弹性分析,得到不同层的套管阻尼器所受轴力的平均值,定义套管阻尼器的屈服力与反应谱分析得到的套管阻尼器所受轴力平均值的各层的最大值之比为套管阻尼器的屈服比例,记为 $\xi$ 。显然,为使阻尼器发挥作用, $\xi$ 值应不大于1。

### 3 参数分析结果及讨论

#### 3.1 套管阻尼器框架支撑结构形式 1

取 $\beta$ 为0.53,改变阻尼器的 $\alpha$ 值,并为其适配不同的 $\xi$ 值,采用图3(a)所示的地震动对模型进行弹塑性动力分析,分析结果如图4所示。由图4(a)可见,随着阻尼器相对刚度的逐步增大,结构基底剪力更大,尤其是当 $\xi$ 值较小时尤为明显。这是因为阻尼器刚度越大,结构的抗侧刚度也就越大,周期更短,基底剪力也越大。当 $\xi$ 值较小时,刚度较小的阻尼器更早地发生屈服,结构刚度更早降低,使得基底剪力的差异性更加明显;相反,当 $\xi$ 值较大时,

阻尼器不易屈服,虽然阻尼器刚度有所差异,但都保持弹性状态下,基底剪力差异较小。从图4(b)可见,过低的 $\alpha$ 值还是会带来较大的层间位移角,而当 $\alpha$ 加大到0.4后,层间位移角的降低幅度明显放缓,而在 $\alpha=0.4, \xi=0.3$ 附近时,层间位移角反而最低。层间位移角的大小受地震作用的大小和结构刚度两方面影响,附加阻尼可降低结构的地震作用,但附加阻尼的增加是以阻尼器屈服、结构刚度降低为代价的,因而出现了这种转折。综合考虑基底剪力和层间位移角,刚度比 $\alpha$ 取为0.4、屈服比 $\xi$ 取为0.2时,可获得较好的减震效果。

对阻尼器相对长度 $\beta$ 进行参数分析时,阻尼器相对刚度 $\alpha$ 设定为0.4,屈服比聚焦在0.2附近的0.1、0.2、0.3和0.4,舍掉消能效果较差的0.6和0.8,得到如图5所示的结果。由图5(a)可见,除了 $\beta=0.53$ 的情况外,基底剪力都随着屈服比 $\xi$ 的降低而降低,长度比 $\beta$ 取0.53时基底剪力相对较低。由图5(b)可以看出,相对长度 $\beta$ 越大,阻尼器越长,结构越接近斜撑框架结构,结构的最大层间位移角越小。综合考虑基底剪力和层间位移角,发现当屈服比 $\xi$ 依然取为0.2、相对长度比 $\beta$ 为0.53时有相对较低的

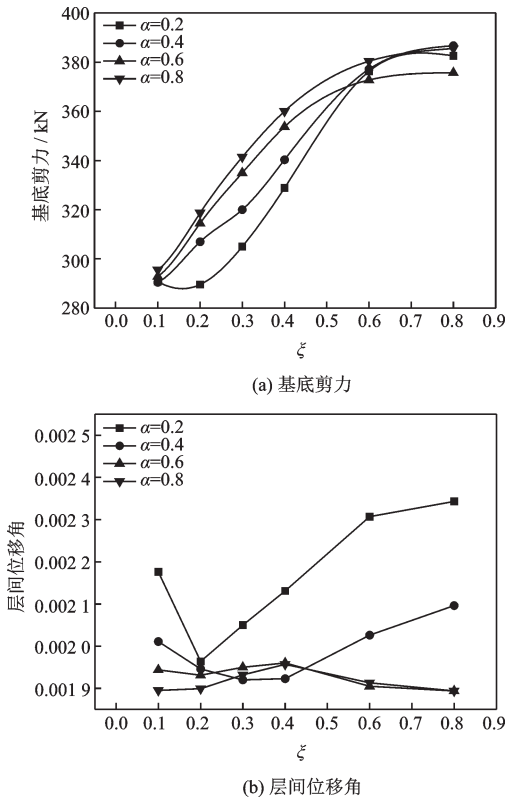


图4  $\alpha$ 和 $\xi$ 取值对结构1地震响应的影响

Fig.4 Influence of the values of  $\alpha$  and  $\xi$  on the seismic response of structure 1

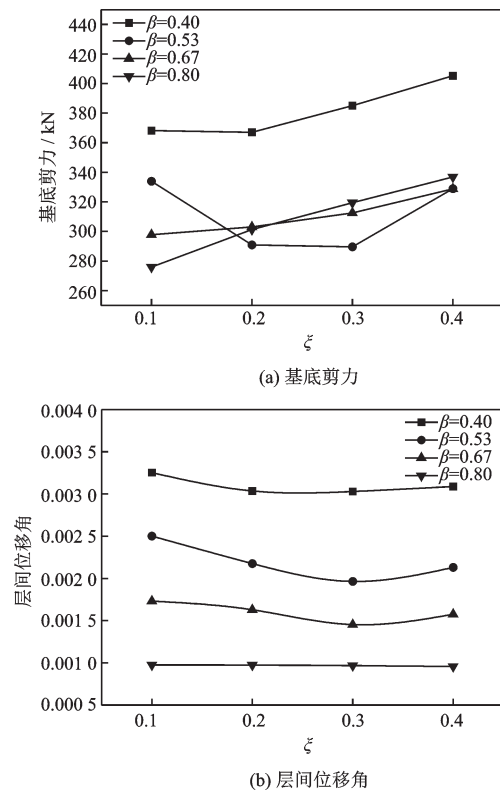


图5  $\beta$ 和 $\xi$ 取值对结构1地震响应的影响

Fig.5 Influence of the values of  $\beta$  and  $\xi$  on the seismic response of structure 1

基底剪力和层间位移角。这样的参数分析结果是符合预期的,相对长度比 $\beta$ 取0或1都不能发挥阻尼器的作用,而取到二者之间,可恰到好处地发挥阻尼器的作用。

综合上述分析,对于结构形式1,阻尼器的相对刚度 $\alpha$ 、相对长度 $\beta$ 和屈服比 $\xi$ 的合理取值分别为0.4、0.5和0.2。

### 3.2 套管阻尼器框架支撑结构形式2

取 $\beta$ 为0.53,改变阻尼器的 $\alpha$ 值,并为其适配不同的 $\xi$ 值,采用图3(b)所示的地震动对模型进行弹塑性动力分析,分析结果如图6所示。由图6(a)可见,随着阻尼器相对刚度的逐步增大,结构基底剪力并没有呈现简单的单调关系, $\alpha$ 为0.8时基底剪力并不是最大的,刚度比较大的套管阻尼器可提供更大的附加阻尼,削弱了结构所承受的地震作用。由图6(b)可知,随着套管阻尼器刚度的提高,层间位移角减小,但当 $\alpha$ 从0.6增加至0.8的过程中降低的幅度已经十分微弱。综合考虑基底剪力和层间位移角的因素,当 $\alpha$ 值取0.6、 $\xi$ 取0.4~0.6时,套管阻尼器可以提供较好的消能减震效果。

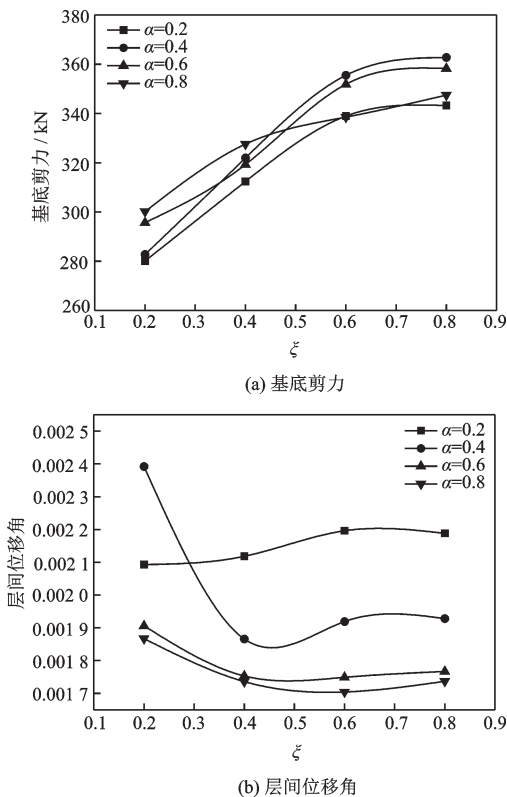


图6  $\alpha$ 和 $\xi$ 取值对结构2地震响应的影响

Fig.6 Influence of the values of  $\alpha$  and  $\xi$  on the seismic response of structure 2

阻尼器相对刚度设定为0.6,改变模型的 $\beta$ 值,得到如图7所示的结果。由图可见,随着套管阻尼器长度的增加,基底剪力逐步增加,同时层间位移角逐步得到控制,二者对屈服比 $\xi$ 敏感度不高。 $\beta$ 值取0.4和0.6时,结构响应接近,相比 $\beta$ 取0.2的结构,结构层间位移角得到有效控制,且基底剪力并未有明显提高;类似地,随着屈服比的降低,基底剪力缓缓降低,层间位移角变化不明显。综合考虑结构基底剪力和层间位移角响应,相对长度 $\beta$ 宜取0.4到0.6。

综合上述分析,对于工程应用形式2,阻尼器的相对刚度 $\alpha$ 、相对长度 $\beta$ 和屈服比 $\xi$ 的合理取值分别为0.6、0.5和0.4。

虽然阻尼器屈服可以为结构提供阻尼,但过早的屈服意味着屈服力不大,消能能力受限,同时将导致结构刚度过早降低;与之相对,若阻尼器迟迟不屈服,将难以发挥其消能作用。因而,寻求阻尼器屈服,提供消能能力,结构刚度折减的时机是本参数分析的核心。总体而言,相比工程应用形式1,工程应用形式2的阻尼器屈服后,结构的消能能力增强更多,刚度的折减更大。若以工程应用形式1

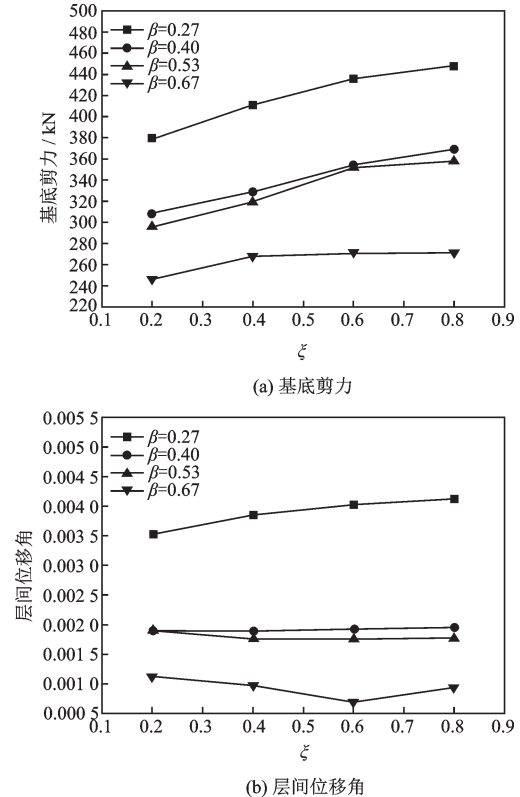


图7  $\beta$ 和 $\xi$ 取值对结构2地震响应的影响

Fig.7 Influence of the values of  $\beta$  and  $\xi$  on the seismic response of structure 2

参数分析得到的相对刚度 $\alpha$ 、相对长度 $\beta$ 和屈服比 $\xi$ 的合理取值作为基准,工程应用形式2的阻尼器相对刚度应更大,屈服时机更晚,以取得同样的结构总体消能与刚度折减的平衡。工程应用形式1与工程应用形式2的分析结果对比同样印证了这一点。

#### 4 最优布置层数

作为一种位移型阻尼器,套管阻尼器应优先布置在发生位移较大的结构层。对纯框架结构进行反应谱弹性分析,其层间位移角如图8所示。阻尼器布置层数对两种结构形式地震响应的影响如图9、10所示。

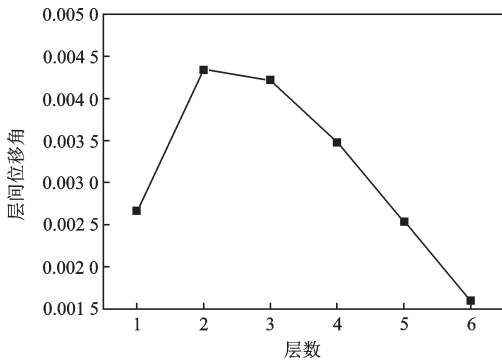


图8 纯框架结构层间位移角  
Fig.8 Interlayer drift angle of pure frame structure

由图9和图10可见,对两种结构形式,最好的布置方案都是仅在结构底部四层布置阻尼器。在这种布置形式下,无论是结构的底部剪力,还是结构层间位移角均为最小值。可见,依据框架结构的弹性地震层间位移大小,依次在各楼层加设套管阻尼器支撑,无需各层满布,即可获得最优的阻尼器楼层布置。

为说明套管阻尼器对结构的消能减震效果、有无套管阻尼器支撑布置对比,建立与图11所示模型对应的结构模型,除了套管阻尼器外其他信息保持一致,采用具有相同轴向刚度的一般构件代替套管阻尼器。相同结构形式的设置和未设置阻尼器的两个结构具有相同的刚度特性和荷载信息。采用图3(a)所示的地震波进行时程分析,同样提取结构的基底剪力和最大层间位移角,发现在结构形式1中采用套管阻尼器,相比不设置阻尼器的对应结构,底部剪力降低28.92%,最大层间位移角降低17.43%;在结构形式2中采用套管阻尼器,相比不

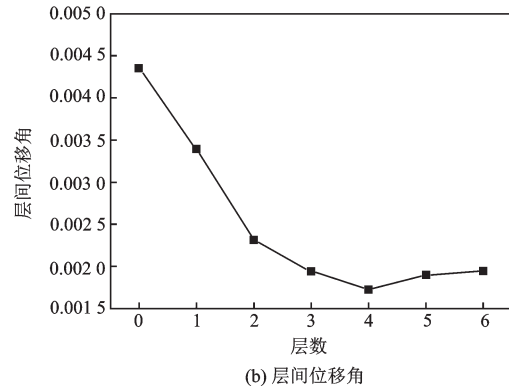
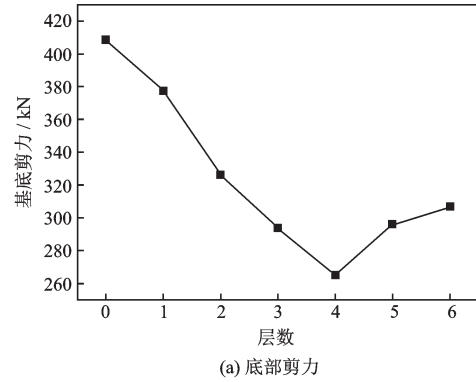


图9 阻尼器布置层数对结构形式1的地震响应的影响  
Fig.9 Influence of the number of damper arrangement layers on the seismic response of structural form 1

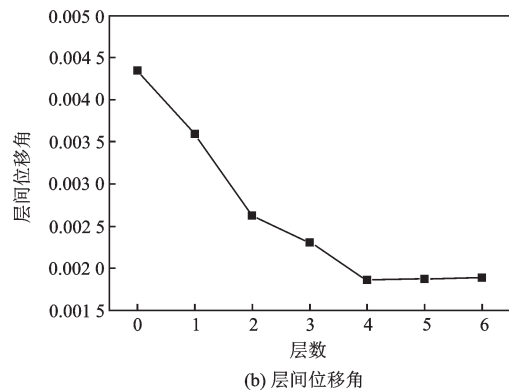
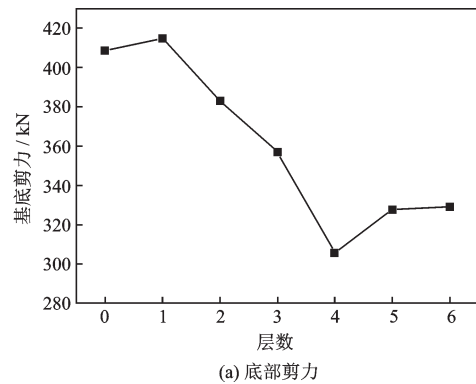


图10 阻尼器布置层数对结构形式2的地震响应的影响  
Fig.10 Influence of the number of damper arrangement layers on the seismic response of structural form 2

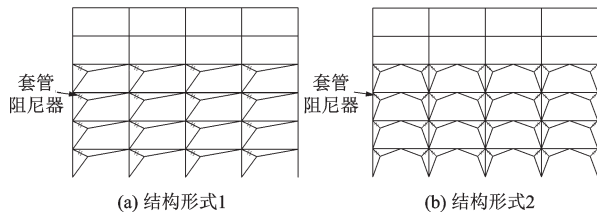


图 11 结构底部四层设置阻尼器

Fig.11 Setting dampers at four layers at the bottom

设置阻尼器对应的结构,底部剪力降低 15.99%,最大层间位移角降低 13.63%,分析结果说明套管阻尼器对降低框架支撑结构弹塑性地震响应有效。

## 5 结 论

提出了两种套管阻尼器的工程应用形式,形成框架—套管阻尼器支撑的结构体系,相比常规的框架支撑结构,为支撑所在开间提供了开洞的可能性,且套管阻尼器在地震作用下可为结构提供附加阻尼,降低地震作用。通过对设置金属套管阻尼器的结构进行参数分析,得出以下主要结论:

(1)经参数分析,第一种结构形式中,套管阻尼器的合理参数取值为:相对刚度 $\alpha$ 为 0.4,相对长度 $\beta$ 为 0.5,屈服比 $\xi$ 为 0.2;第二种结构形式中,套管阻尼器的合理参数取值为:相对刚度 $\alpha$ 为 0.6,相对长度 $\beta$ 为 0.5,屈服比 $\xi$ 为 0.4。

(2)套管阻尼器并不一定每层都布置,可按照框架弹性层间地震反应大小的顺序,依次在各层布置套管阻尼器支撑。依据结构底部地震最大剪力和各层最大层间位移的减小效果,可确定套管阻尼器支撑的最优布置层数。

(3)与不设置套管阻尼器的框架支撑结构相比,布置套管阻尼器可降低结构的地震响应,说明了套管阻尼器的消能减震效果。

## 参考文献:

[1] 白雪霜. 现有钢筋混凝土框架结构抗震鉴定方法试验研究[D]. 北京: 中国建筑科学研究院, 2012.  
Bai X Sh. Experimental research on seismic identification method of existing reinforced concrete frame structures[D]. Beijing: China Building Science Research Institute, 2012. (in Chinese)

[2] 非明伦,朱月芬,周光全,等. 汶川 8.0 级地震现场灾害调查统计与分析[J]. 地震研究, 2008, 31(增 1):

119-127.

Fei M L, Zhu Y F, Zhou G Q, et al. Field disaster investigation and analysis of Wenchuan MS8.0 Earthquake [J]. Earthquake research, 2008, 31(Sup1): 119-127. (in Chinese)

- [3] McCormick J, Aburano H, Ikenaga M, et al. Permissible residual deformation levels for building structures considering both safety and human elements[C]//Proceedings of the 14<sup>th</sup> World Conference on Earthquake Engineering, Beijing: Seismological Press, 2008: 12-17.
- [4] Kelly J M, Skinner R I, Heine A J. Mechanics of energy absorption in special devices for use in earthquake resistant structures[J]. Bulletin of the New Zealand Society for Earthquake Engineering, 1972, 5(3):63-68.
- [5] Whittaker A S, Bertero V V, José Luis Alonso G, et al. Earthquake simulator testing of steel plate added damping and stiffness elements [M]. Berkeley, CA, USA: Earthquake Engineering Research Center, University of California at Berkeley, 1989.
- [6] Xia C, Hanson R D. Influence of ADAS element parameters on building seismic response [J]. Journal of Structural Engineering, 1992, 118(7):1 903-1 918.
- [7] Tena-Colunga A. Mathematical modelling of the ADAS energy dissipation device[J]. Engineering Structures, 1997, 19(10):811-821.
- [8] Zhang W Y, Zhang M Z, Li D W. An experimental research on performance and application of a new type of mild steel damper added damping and stiffness(ADAS) [J]. Journal of Harbin Institute of Technology, 2008, 40(12):1 888-1 894.
- [9] Chan R W K, Albermani F. Experimental study of steel slit damper for passive energy dissipation[J]. Engineering Structures, 2008, 30(4):1 058-1 066.
- [10] Lee C H, Lho S H, Kim D H, et al. Hourglass-shaped strip damper subjected to monotonic and cyclic loadings [J]. Engineering Structures, 2016, 119:122-134.
- [11] 陈之毅,葛汉彬,宇佐美勉,等. 剪切板阻尼器的滞回性能参数研究[J]. 土木工程学报, 2008, 41(11): 13-17.  
Chen Zh Y, Ge H B, Yusao Meimei, et al. Hysteretic parameters of shear plate dampers [J]. Journal of Civil Engineering, 2008, 41(11): 13-17. (in Chinese)
- [12] 何志明,周 云,陈清祥. 剪切钢板阻尼器研究与应用进展[J]. 地震工程与工程振动, 2012, 32(6):

124-135.

He Zh M, Zhou Y, Chen Q X. Progress in research and application of shear plate dampers[J]. Earthquake Engineering and Engineering Vibration, 2012, 32 (6) : 124-135. (in Chinese)

[13] 宋中霜, 李冀龙, 韩露, 等. 低屈服点钢剪切板阻尼器滞回性能试验研究[J]. 防灾减灾工程学报, 2014, 34(3):289-295.

Song Zh Sh, Li J L, Han L, et al. Experimental study on hysteretic behavior of steel shear plate dampers with low yield point [J]. Journal of Disaster Prevention and Mitigation Engineering, 2014, 34 (3) : 289-295. (in

Chinese)

[14] Benavent-Climent A. A brace-type seismic damper based on yielding the walls of hollow structural sections [J]. Engineering Structures, 2010, 32 (4) : 1 113-1 122.

[15] 孙瑛志, 李国强, 孙飞飞. 一种套管式金属阻尼器的试验研究[J]. 工程抗震与加固改造, 2018, 40(3):87-92. Sun Y Zh, Li G Q, Sun F F. Experimental research on a sleeve metal damper[J]. Earthquake Resistant Engineering and Retrofitting, 2018, 40 (3) : 87-92. (in Chinese)

(本文责编:赵霞)



(上接第 763 页)

[6] 俞琪琦. 风致大跨越输电塔线体系倒塌破坏研究[D]. 山东:山东大学, 2016.

Yu Q Q. Wind-induced collapse of long-span transmission tower-line system [D]. Shandong: Shandong University, 2016. (in Chinese)

[7] 吉柏锋, 瞿伟廉, 王亮. 等. 下击暴流作用下输电塔弹塑性失稳倒塌研究[J]. 中国安全科学学报, 2014, 24 (12):90-95.

Ji B F, Qu W L, Wang L, et al. Elastic-plastic buckling collapse analysis of transmission tower under downburst [J]. China Safety Science Journal, 2014, 24(12) : 90-95. (in Chinese)

[8] 李庆伟, 李宏男. 输电塔结构的动力稳定性研究[J]. 防灾减灾工程学报, 2008, 28(2) : 202-207.

Li Q W, Li H N. Study on dynamic instability of transmission tower [J]. Journal of Disaster Prevention and Mitigation Engineering, 2008, 28(2) : 202-207. (in Chinese)

[9] 石永久, 王萌, 王元清. 结构钢材循环荷载下的本构模型研究[J]. 工程力学, 2012, 29(9):92-98.

Shi Y J, Wang M, Wang Y Q. Study on constitutive model of structural steel under cyclic loading [J]. Engineering Mechanics, 2012, 29(9) : 92-98. (in Chinese)

[10] Powell M D, Viekery P J, Reinhold T A. Reduced drag coefficient for high wind speeds in tropical cyclones [J]. Nature, 2003, 422(6269) : 279-283.

[11] 宋丽莉, 毛慧琴, 汤海燕, 等. 广东沿海近地层大风特性的观测分析[J]. 热带气象学报, 2004, 20(6) : 731-736.

Song L L, Mao H Q, Tang H Y, et al. Observation and analysis of wind characteristics in coastal strata of guangdong province [J]. Journal of Tropical Meteorology, 2004, 20(6) : 731-736. (in Chinese)

[12] 中国工程建设标准化协会. GB50009-2012, 建筑结构荷载规范[S]. 北京:中国建筑工业出版社, 2012.

China Association for Engineering Construction Standardization. GB50009-2012, Load code for the design of building Structures [S]. Beijing: China Building Industry Press, 2012.

[13] 电力规划设计总局. DLT5154-2012, 架空送电线路杆塔结构设计技术规定[S]. 北京:中国计划出版社, 2012.

China Electric Power Planning & Engineering Institute. DLT5154-2012, Technical code for the design of tower and pole structures of overhead transmission line [S]. Beijing: China Planning Press, 2012.